

用斐索自聚焦光纤干涉仪测微区面形

孙晓红 明 海 白 明 张国平 吴云霞 刘 肇 梁忠诚 谢建平

(中国科技大学物理系 合肥 230026)

束继祖

(中国科学院国家微重力实验室 北京 100084)

摘要 采用 LD 泵浦的单纵模 Nd:YVO₄ 倍频激光器、自聚焦棒以及三维精密调整架构成斐索型干涉仪, 它具有同时测量微区振动和面形的功能, 着重给出了测量微区面形的实验结果和理论分析。

关键词 斐索干涉仪, 自聚焦棒, 光纤传感器

1 引言

采用自聚焦透镜构成斐索型干涉仪的优点是: 干涉仪中自聚焦光纤透镜既作为传光介质, 又作为成像透镜; 通过改变光纤透镜的长度, 可以测量物体中不同大小的微型区域; 多周期的长自聚焦透镜可作为一根硬性探针, 深入到隐藏区域进行测量。用斐索自聚焦透镜干涉仪测量微区振动在文献[1, 2]中已讨论过, 本文报道由激光二极管(LD)泵浦的 Nd:YVO₄ 倍频小型激光器、自聚焦透镜和三维精密调整架构成的斐索型干涉仪, 具有同时测量微区振动和面形的功能, 可用于微重力下液桥的振动与变形的测试。本文在对斐索型干涉仪测振研究的基础上, 着重进行物体微区面形测量的研究, 给出了原理性实验结果并进行了理论分析。

2 实验装置

实验装置如图 1 所示。这里所用的光源是 LD 泵浦的单纵模 Nd:YVO₄ 倍频小型激光器, 功率为 30 mW, 波长为 532 nm, 它发出高功率的绿色偏振光。此光源有很多优点, 一方面它的时间相干性特别好, 功率稳定, 为提高干涉条纹的可见度提供了条件。另一方面其波长比较短, 可以提高干涉测量精度。再者它发出的绿光位于海水窗口, 适于对水中物体进行测量。

图 1 中的激光器, 半反镜 BS, 自聚焦棒 GL, 成像屏(接收屏)IS, CCD 摄像机和光电探测器 PD 都安装在三维精密调整工作台上。该工作台是

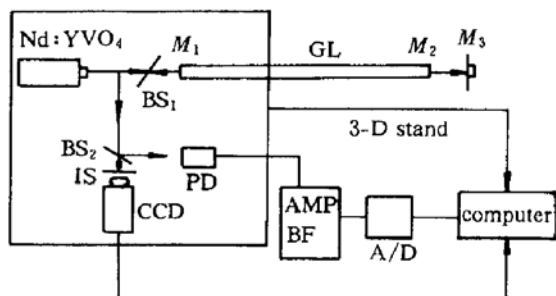


图 1 实验装置图

Fig. 1 Diagram of the experimental setup

精密机械与电子技术相结合的仪器,由计算机控制可实现在光学测量中三维方向上的精密位移,最大行程均为 100 mm,步进精度为每步 2.1 μm。工作台的运行可由计算机进行全过程的精密控制,也可由驱动电源上的手动开关控制。通过改变三维工作台在 x, y, z 方向的位置来改变 GL 棒的位置,从而测出物体不同位置上的面形和振动。

3 工作原理

图 1 中倍频 Nd:YVO₄ 偏振光经分束器 BS₁ 直接耦合进自聚焦棒的 M_1 端,由自聚焦棒 GL 出射的光照到物体表面 M_3 ,以自聚焦棒的 M_2 面反射回来的光为参考光 V_R 和从振动物体表面 M_3 反射回来的光为物光 V_o ,则它们经自聚焦棒 GL 与分束器 BS₁,在分束器 BS₂ 上形成干涉光,并由 BS₂ 分为两路:一路由光电探测器 PD 接收,经放大滤波器 AMP BF 和高速 A/D 转换后,将待测数据输入计算机,用来测物面 M_3 的振动情况;另一路由成像屏接收,CCD 摄像机拍摄经计算机处理得到物体面形。

自聚焦光纤是一种具有成像作用的梯度折射率光纤,其折射率沿径向成二次曲线分布。光线在其中传播时,路线成周期性变化。光线的传播满足方程

$$\begin{cases} x = x_0 \cos(\sqrt{A}z) + \frac{P_0}{\sqrt{A}} \sin(\sqrt{A}z) \\ P = -x_0 \sqrt{A} \sin(\sqrt{A}z) + P_0 \cos(\sqrt{A}z) \end{cases} \quad (1)$$

坐标系如图 2 所示,其中 (x_0, P_0) 为光线入射点的径向坐标和光线斜率, (x, P) 为相应的出射点的坐标。当传播距离 $D = 2\pi L = 2\pi/\sqrt{A}$ 时, $x = x_0, P = P_0$, 光线在自聚焦棒中的传播路程为一个周期,此时的光纤棒长度 D 即为自聚焦棒的拍长。其中 A 是光纤棒的特性常数,与光纤的制作过程和介质有关。成型的光纤棒拍长为定值,可通过截取不同长度自聚焦棒改变其成像特征。

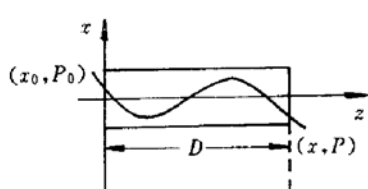


图 2 光线在自聚焦棒中的传播

Fig. 2 Propagation of the paraxial ray in GL

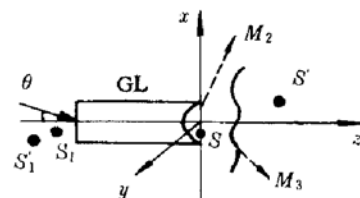


图 3 1/4 拍长斐索干涉仪测面形原理图

Fig. 3 The principle diagram of the 1/4 pitch Fizeau Interferometer for the profile measurement

下面分析自聚焦棒为 1/4 拍长(平行光入射,出射光为发散光)的斐索干涉仪,在被用来测任意曲面面形时的干涉原理。如图 3 所示,一束与自聚焦棒光轴成 θ 角的平行光线,经过自聚焦棒的传输,将 $z = 1/4 \times 2\pi L, P_0 = \tan\theta, x_0 = 0$ 代入光线传播方程(1)可得在出射端会聚在点 $S(0, Ltan\theta)$ 。参考面 M_2 和待测物面 M_3 的反射光的干涉可看作是点光源 S 及 S 通过曲面 M_3 反射所成虚像点 S' 的干涉引起的。如果假设待测曲面 M_3 是曲率半径为 R 且与 GL 共轴的凹球面,

则由凹面反射成像公式及垂轴放大率公式可得 S' 点的坐标为 $\left(\frac{2l'^2 + 2Rl'}{2l' + R}, \frac{RL\tan\theta}{R + 2l'} \right)$ 。 S 和 S' 经过自聚焦透镜分别成像在 S_1 和 S_1' 。点 S_1 和 S_1' 的干涉场与 S 和 S' 的干涉场是等价的, 所以参考面 M_2 和待测物面 M_3 的反射光的干涉场可由点 S_1 和 S_1' 的干涉场来获得。由自聚焦透镜的成像公式^[3]

$$\begin{cases} z' = n_1 \frac{z + L \left(\frac{n_2}{n_0} \right) \tan \frac{D}{L}}{n_2 - n_0 \left(\frac{z}{L} \right) \tan \frac{D}{L}} \\ x' = \frac{x}{\cos \frac{D}{L} - \left(\frac{n_0}{n_2} \right) \left(\frac{z}{L} \right) \sin \frac{D}{L}} \end{cases} \quad (2)$$

其中 n_1 和 n_2 分别为自聚焦透镜两端面外介质的折射率, n_0 为其中心折射率。可得 S_1 和 S_1' 的坐标分别为 (∞, ∞) , $(z', x') = \left[-\frac{L^2(2l' + R)}{n_0^2(2l'^2 + 2Rl')}, -\frac{RL^2\tan\theta}{n_0(2l'^2 + 2Rl')} \right]$ 。 S_1 产生的一束平行光, 由光路可逆知此平行光沿入射光束方向出射。两束光波方程可分别表示为

$$\begin{aligned} V_R &= R \exp(jkx \sin\theta) \\ V_O &= \frac{O}{z''} \exp\left\{ j \frac{k}{2z''} [(x - x')^2 + y^2] \right\} \quad (\text{其中 } z'' = z - z') \end{aligned}$$

干涉光场强度为

$$\begin{aligned} I(x, y) &= |V_R + V_O|^2 = \\ &R^2 + \frac{O^2}{z''^2} + 2R \frac{O}{z''} \cos\left\{ \frac{k}{2z''} \{ [x - (x' - z'' \sin\theta)]^2 + y^2 + 2x' z'' \sin\theta - z''^2 \sin^2\theta \} \right\} \end{aligned}$$

所得到的干涉亮条纹方程为

$$\frac{[x - (x' - z'' \sin\theta)]^2 + y^2 + 2x' z'' \sin\theta - z''^2 \sin^2\theta}{2z''} = n\lambda \quad n = 1, 2, 3, \dots \quad (3)$$

当 $R \rightarrow \infty$ 时, 待测面 M_3 是平面, 干涉条纹是垂直于 z 轴的 x, y 平面上的一族同心圆环; 当 R 为凸面或凹面时所得干涉条纹均为同心圆环, 且 $|l'| < |R| < 2l'$, 测量条件 l' 相同时, 待测物面为凹面比为凸面所得到的干涉条纹要密; 当 $l' \rightarrow 0$ 或 $l' = -R$ 时, 干涉条纹是 x, y 平面上的一族平行直线。

这样已知曲面 M_3 的曲率半径, 即可求出干涉条纹方程和形状; 反之由不同位置条纹形状, 我们也可推得曲面曲率半径和形状, 将在第 4 部分用实例来说明。

4 实验结果及分析

作为例子, 选择长度为 106.21 mm(1¼ 拍长), 直径为 2 mm 的自聚焦棒斐索干涉仪分别对平面和焦距为 3 cm 凹透镜凹面及凸面进行测量。首先对平面进行测量, 所得干涉条纹图如图 4(a) 所示; 接着对凹透镜凹面进行测量, 当 $l' = 0$ 时所得干涉条纹图如图 4(b) 所示, $l' \neq 0$ 时干涉条纹图如图 5(a) 所示。调节三维调整架在与图 5(a) 的 l' 相同条件下测得其凸面干涉条纹图如图 5(b) 所示。从条纹基本形状来看与第三部分理论分析相吻合, 出现椭圆有两方面的原因: 一是待测面球心不在 GL 光轴上, 另一原因是接收面与光轴(z 轴)不垂直。下面从不同位置条纹形状来求面形数据和相对误差。

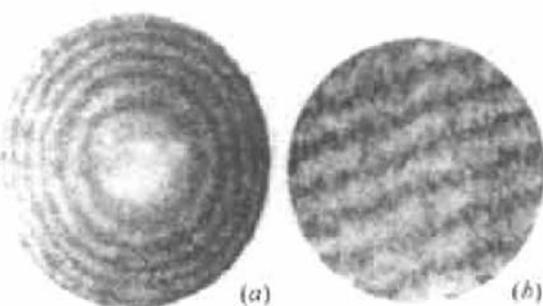


图 4 (a) 待测面为平面时的干涉条纹图;
(b) 当 $l' = 0$ 时的凹面干涉图

Fig. 4 (a) The fringe pattern of a planar object;
(b) The fringe of a concave at $l' = 0$

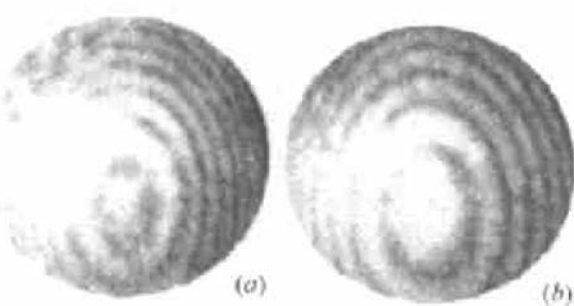


图 5 凹透镜凹面 (a) 和凸面 (b) 的干涉条纹图

Fig. 5 The interferometric pattern of a concave (a) and a convex (b)

作为例子, 我们来测一焦距为 3 cm 的凹透镜的凹面, 给出曲率半径值及其相对误差。有两种方法: 一种是通过计算机控制三维调整架来实现; 另一种是用计算机编程直接处理干涉条纹图来实现。通过计算机控制调节三维调整架, 当所得到的干涉图为同心圆环时, 说明凹透镜与自聚焦透镜共轴, 此时控制调整架使其沿轴向靠近自聚焦棒运动, 当干涉条纹为平行直条纹时, 凹透镜顶点与自聚焦棒出射光线会聚点 S 基本重合(轴向重合), 即 $l' = 0$, 此时计算机记下三维调整架轴向位置 l_1 。再调节三维调整架沿轴向远离自聚焦棒运动, 当又一次出现平行直条纹时, 凹透镜凹面球心与 S 点重合, 此时计算机记下轴向位置 l_2 。由此可得凹面曲率半径 $R = |l_1 - l_2|$ 。用这种方法测得 $R = 5.99907 \text{ cm}$, 相对误差为 0.015%。如果要测量凸透镜, 就要换一根焦点在棒外(出射光为会聚光)的自聚焦棒。

另一种方法是, 假定待测物体在距 M_2 面轴向距离为 l' 处, CCD 所拍摄到距 M_1 面为 z 处的干涉图相邻两干涉条纹半径分别为 R_1 和 R_2 , 最大干涉条纹半径为 l (mm), 因为光纤棒半径为 1 mm, 所以此干涉条纹相对于 M_1 面处条纹放大率为 l 倍, 故可得 M_1 面处干涉条纹方程为

$$\left(\frac{R_2}{l}\right)^2 - \left(\frac{R_1}{l}\right)^2 = \left(\frac{2l' + R}{2l'^2 + 2Rl'}\right) \frac{L^2}{n_0^2} 2\lambda \quad (4)$$

调节三维调整架沿轴向移动距离 Δl 靠近待测物体, 所得 z 处相邻干涉条纹半径为 R'_1 , R'_2 , 最大干涉条纹半径为 l (mm), 则同理可得

$$\left(\frac{R'_2}{l}\right)^2 - \left(\frac{R'_1}{l}\right)^2 = \left[\frac{2(l' - \Delta l) + R}{2(l' - \Delta l)^2 + 2R(l' - \Delta l)}\right] \cdot \frac{L^2}{n_0^2} 2\lambda \quad (5)$$

解由(4), (5) 组成的方程组可得 l' , R , 从而求得待测物面形, R 为正值待测面为凸面, R 为负值待测面为凹面。这种方法目前还不成熟, 尚待研究。

另外从实验上来判断平面、凹面和凸面要根据三维调整架在调节过程中条纹形状的变化来决定。当三维调整架沿轴向远离待测物面, 条纹基本形状均为同心圆环时, 待测面为凸面; 当远离待测物体时同心圆环逐渐变为平行直条纹, 然后又为同心圆环时, 待测面为凹面。当调整架垂直轴向运动条纹形状不变时, 待测面为平面。

参 考 文 献

1 Ming Hai, Ren Baorui, Xie Jianping et al.. The expansion of measuring range of vibration with Fizeau type of

- gradient-index rod interferometer. *Opto-electric Engineering* (光电工程), 1991, 18(1):8~11 (in Chinese)
- 2 Ming Hai, Sun Yuesheng, Ren Baorui et al.. Fizeau-type of gradient index rod lens interferometer by using semiconductor laser. *Proc. SPIE*, 1991, 1572:27~31
- 3 Felix P. Kapron. Geometrical optics of parabolic index-gradient cylindrical lenses. *J. Opt. Soc. Am.*, 1970, 60(11):1433~1436

A GRIN Fizeau Interferometer for the Profile Measurement of Micro-surfaces

Sun Xiaohong Ming Hai Bai Ming Zhang Guoping
Wu Yunxia Liu Yang Liang Zhongcheng Xie Jianping

(*Physics Department of USTC, Hefei 230026*)

Shu Jizu

(*NMLC, The Chinese Academy of Science, Beijing 100084*)

Abstract A Fizeau type interferometer reported here is composed of a LD-pumped single-mode double-frequency Nd:YVO₄ laser, a different-size GRIN (Gradient Index) rod lens and a 3-D fine regulation stand. It is used for the measurement of the profile, deformation and oscillatory feature of micro-surfaces simultaneously. The experimental results and theoretical analysis are given.

Key words Fizeau interferometer, GRIN, fiber sensor